

Wohlgl.:

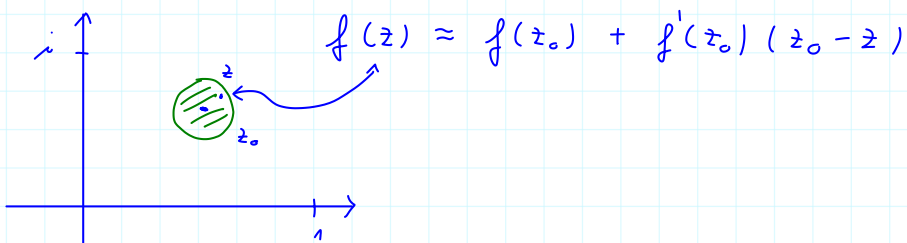
- komplexe Fkt. $f: G \rightarrow \mathbb{C}$
 $z \mapsto f(z)$

- komplexe Ableitung von f in z_0 :

$$\frac{df}{dz}(z_0) = f'(z_0) = \lim_{h \rightarrow 0} \frac{1}{h} (f(z_0 + h) - f(z_0))$$

sofern existent: $\rightarrow f$ komplex diffbar in z_0

2. lineare Näherung:



- $f: G \rightarrow \mathbb{C}$ holomorph: $\Leftrightarrow \forall z_0 \in G: f$ diffbar in z_0

Beispiele holomorpher Funktionen:

- ganzrationale Fkt.: $z^n, \bar{z}^n, \frac{z^2+3z}{5z-z^3}, \dots$
- Fkt. en def. durch Potenzreihen:
 $\exp(z), \sin(z), \cosh(z), \dots$
- f, g holomorph $\rightarrow f+g, \lambda f, f \cdot g, f/g$
 $f \circ g, f^{-1}$ holomorph

\rightarrow z.B. $\ln \left(\frac{e^z + \sin(z)}{3z^2 + \cos^2(z)} \right)$ holomorph

Ableitungsregeln:

- $(f+g)' = f' + g'$
- $(\lambda f)' = \lambda f'$
- $(fg)' = f'g + fg'$
- $(f/g)' = \frac{f'g - fg'}{g^2}$
- $(f \circ g)' = (f' \circ g) g'$
- $(f^{-1})' = \frac{1}{f' \circ f^{-1}}$

Beispiele nicht holomorphe Fkt. en:

$$\underline{\underline{z^*}}, \quad |z| = (z^* z)^{1/2}, \quad \operatorname{Re} z = \frac{1}{2}(z + z^*), \quad \operatorname{Im} z = \frac{1}{2i}(z - z^*)$$

komplexe vs reelle Diff. barkeit:

$f: G \rightarrow \mathbb{C}$ komplex diff. bar in z_0
 $z \mapsto f(z)$

$\Leftrightarrow f: G \rightarrow \mathbb{R}^2$ reell diff. bar in p_0
 $(x, y) \mapsto (u, v)$

$$z = x + iy = (x, y)$$

$$f = u + iv = (u, v)$$

$$z_0 = (x_0, y_0) = p_0$$

und

$$df_{p_0} = \begin{pmatrix} \frac{\partial u}{\partial x} & \frac{\partial u}{\partial y} \\ \frac{\partial v}{\partial x} & \frac{\partial v}{\partial y} \end{pmatrix} \stackrel{!}{=} \begin{pmatrix} a & -b \\ b & a \end{pmatrix} \quad (*)$$

d.h. f reell diff. bar in p_0 und $u = \operatorname{Re} f$,

$v = \operatorname{Im} f$ erfüllen die Cauchy-Riemann-Gl.

$$\frac{\partial u}{\partial x} = \frac{\partial v}{\partial y}, \quad \frac{\partial v}{\partial x} = -\frac{\partial u}{\partial y}$$

(*) :

$$df_{p_0} = \lambda \begin{pmatrix} \cos \varphi & -\sin \varphi \\ \sin \varphi & \cos \varphi \end{pmatrix} = \lambda R_\varphi$$

$$\lambda = (\sqrt{a^2 + b^2})^{-1}$$

$$\tan \varphi = b/a$$

isotrope

Dehnung /

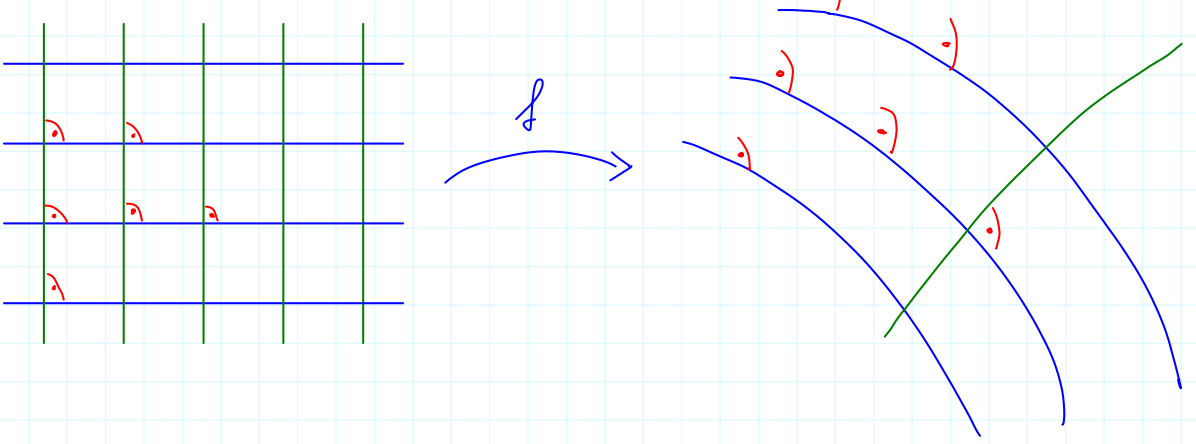
Stauchung

Oberfläche



holomorphe Funktionen sind genau die
winkeltreuen Abbildungen $\mathbb{C} \rightarrow \mathbb{C}$

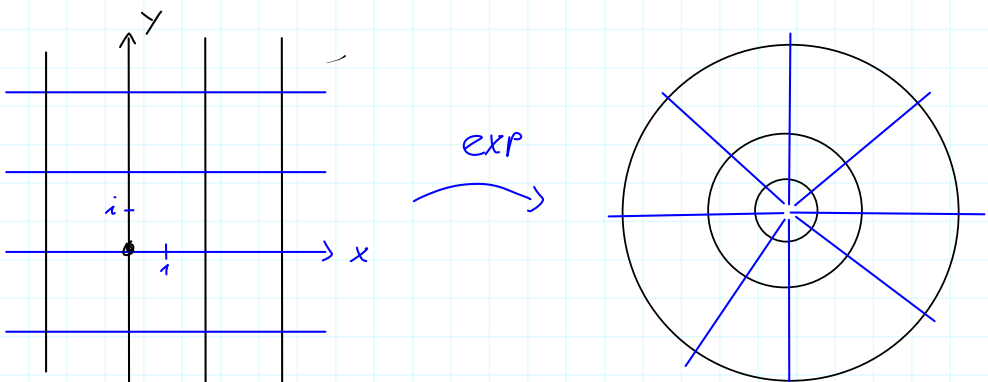
d.h. holomorphe Fkt. = 2D konforme Abb.
mit
Winkelbeben



Beispiel

$$\exp : \mathbb{C} \rightarrow \mathbb{C}$$

$$z = x + iy \mapsto e^z = e^x e^{iy} = e^x (\cos y + i \sin y)$$



zu Φ :

$$\underbrace{f'(z_0)}_{a+ib} \underbrace{h}_{x+iy} = (a+ib)(x+iy) = ax - by + i(bx + ay)$$

$$= \begin{pmatrix} ax - by \\ bx + ay \end{pmatrix} = \begin{pmatrix} a & -b \\ b & a \end{pmatrix} \begin{pmatrix} x \\ y \end{pmatrix}$$

$$= df_{z_0} \begin{pmatrix} x \\ y \end{pmatrix} = \begin{pmatrix} \frac{\partial u}{\partial x} & \frac{\partial u}{\partial y} \\ \frac{\partial v}{\partial x} & \frac{\partial v}{\partial y} \end{pmatrix} \begin{pmatrix} x \\ y \end{pmatrix}$$

$$\text{huz: } f'(z_0) \stackrel{!}{=} \lambda e^{i\varphi} \rightarrow f'(z_0) h \stackrel{!}{=} \lambda \underbrace{e^{i\varphi}}_{\text{Drehung in Standard}} h \stackrel{!}{=} \underline{df_p(x)}$$

$$\varphi, \lambda \in \mathbb{R}$$

Drehung
Standard

Drehung im
 $\mathbb{C} \equiv \mathbb{R}^2$

Bemerkung: holomorphe Fkt. $f = u + iv$:

$$\rightarrow \Delta u = 0, \quad \Delta v = 0$$

$$\frac{\partial^2}{\partial x^2} + \frac{\partial^2}{\partial y^2}$$

d.h. Real- und Imaginärteil einer holomorphen Fkt.
sind harmonische Fkt.

Γ

$$\Delta u = \frac{\partial^2 u}{\partial x^2} + \frac{\partial^2 u}{\partial y^2} = \frac{\partial}{\partial x} \left(\frac{\partial u}{\partial x} \right) + \frac{\partial}{\partial y} \left(\frac{\partial u}{\partial y} \right)$$

$$\frac{\partial v}{\partial y}$$

C.-R. DGL!

$$\ominus \frac{\partial v}{\partial x}$$

$$= \frac{\partial^2}{\partial x^2} v - \frac{\partial^2}{\partial y^2} v = 0 \quad \checkmark$$

s. u. Schwartz

$$\Delta v = 0 \quad \text{analog!}$$

3 direkte Anwendungen in der Elektrostatik (2D!)
im Vakuum $\Rightarrow \rho = 0$

$$\text{E.S.: } \operatorname{div} \vec{B} = 0, \quad \operatorname{rot} \vec{E} = 0$$

$$\frac{\partial B}{\partial t} = 0$$

$$\nabla \cdot \nabla \rightarrow \vec{E} = - \operatorname{grad} \phi$$

$$\rightarrow \underbrace{\operatorname{div} \operatorname{grad} \phi}_{= 0} = 0$$

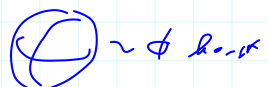
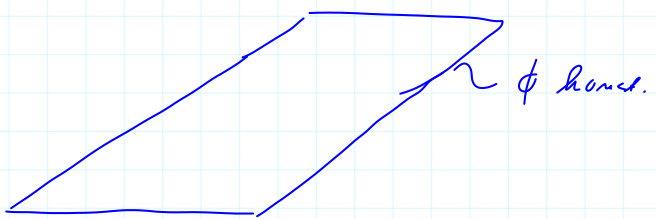
$$\Delta = \frac{\partial^2}{\partial x^2} + \frac{\partial^2}{\partial y^2} + \frac{\partial^2}{\partial z^2}$$

E.S. im Vakuum:

$$\Delta \phi = 0$$

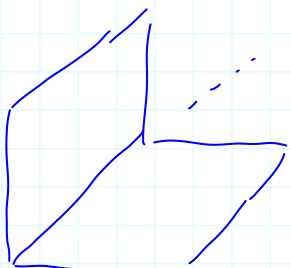
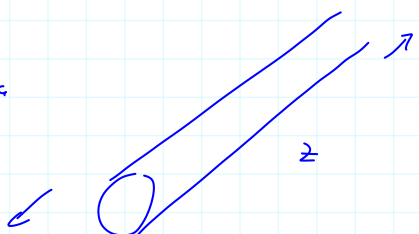
Laplace-Gl.

+ Randbedingungen !!



hier: Randbed. so, dass $\phi(x, y, \cancel{x}) \stackrel{!}{=} \phi(x, y)$...

etwa

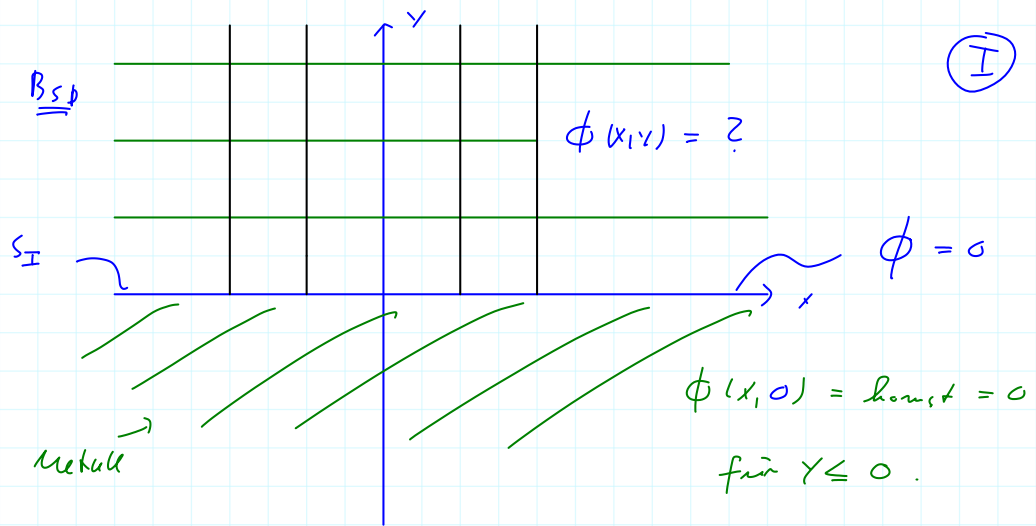


$$\rightarrow \text{setze } \phi(x, y) = \begin{cases} \operatorname{Re} f(x + iy) \\ \operatorname{Im} f(x + iy) \end{cases} \quad !$$

wobei f holomorph und $\phi(x, y)$ erfüllt
Randbedingungen!

$$\Gamma \Rightarrow \Delta \phi > 0 ! \quad \downarrow$$

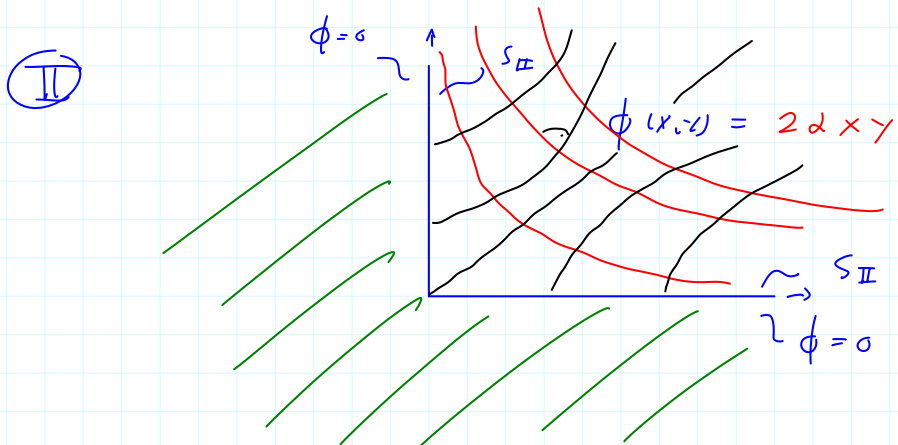
Bsp.



setze $\phi(x, y) = \operatorname{Im} f(x+iy) = \operatorname{Im} 2(x+iy) = 2y \quad \checkmark$

$f(z) = z^2$

$\phi(x, 0) = 0 \quad \checkmark$



Idee: wähle holomorphe Flt g so,
dass $g(S_{\text{II}}) = ! S_{\text{I}}$

→ $f \circ g$ holomorph und $f \circ g|S_{\text{II}} = 0$!

→ $\phi_{\text{II}}(x, y) = ! \operatorname{Im} f \circ g$

setze $g = z^2$! \checkmark

$\phi_{\text{II}}(x, y) = \operatorname{Im} f((x+iy)^2) = 2 \operatorname{Im}(x^2 - y^2 + 2ixy)$

$= 2z^2$

$= 2x \cdot y$

$\phi = u$

$\rightarrow y = \frac{u}{2z} \frac{1}{x}$